

九州大学工学部 正員 山崎徳也  
 応用力学研究所 熊井豊二  
 大学院 学生員 後藤恵三輔

1. 緒言

土木、造船、航空等における薄板構造物の構成要素として、円孔を有する薄板が圧縮力、せん断力、曲げモーメントあるいはそれらの合力等の面内荷重によって座屈する事は周知のとおりであるが、面内荷重にはそれだけでなく、引張力をも考慮しなくてはならない。その際引張力は全方向に作用するのではなく、一方向にのみ作用するものとすれば、薄板の円孔縁には引張応力とともに圧縮応力が生じ、これによって円孔付近に逆材料の局部座屈が起る事が考えられる。そこで著者は、円孔を有する無限薄板が孔の遠方において一軸方向、一様引張りを受けるとき円孔付近に局部座屈が起りうることを提言し、円孔縁の境界条件として i) 自由、ii) 単純支持の二つの場合を考え、そのおのおのについて座屈荷重の近似値を、円孔、半径と板厚との比を表数として、イタルビ法により算定し、解析を行った。

2. 座屈荷重の算定

円孔を有する無限薄板が孔の遠方において一軸方向の一様引張りを受けるとき二次元応力は、円孔中心を原点とする極座標  $r, \theta$  を用いて次のように求められる。(図1参照)

すなわち、円孔の半径  $a$  に比較して大きな  $b$  を半径とする同心円を囲まれた部分も考えれば、 $r=b$  における応力は Saint-Venant の原理により孔の無い場合の応力に等しく、式で与えられる。

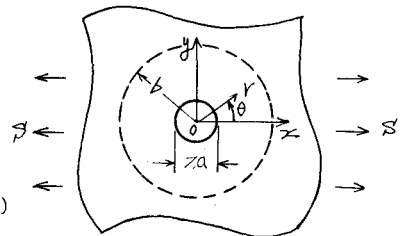


図-1

$$\left. \begin{aligned} (\sigma_r)_{r=b} &= S \cos^2 \theta = \frac{1}{2} S + \frac{1}{2} S \cos 2\theta \\ (\tau_{r\theta})_{r=b} &= \frac{1}{2} S \sin 2\theta \end{aligned} \right\} \dots (1)$$

== 1 =  $S =$  孔の遠方において  $x$  軸方向に薄板に作用する単位面積当たりの引張力。

$\sigma_r, \tau_{r\theta} =$   $r$  および  $\theta$  方向の直応力

$\tau_{r\theta} =$  せん断応力。

== 2 = 求めらるべき応力は、 $r=a$  において  $\sigma_r = \tau_{r\theta} = 0$ 、かつ  $r=b$  において  $\sigma_r = \frac{1}{2} S$ 、 $\tau_{r\theta} = 0$  を満足する応力函数  $\chi_1$  と、同じく  $r=a$  において  $\sigma_r = \tau_{r\theta} = 0$ 、かつ  $r=b$  において  $\sigma_r = \frac{1}{2} S \cos 2\theta$ 、 $\tau_{r\theta} = \frac{1}{2} S \sin 2\theta$  を満足する応力函数  $\chi_2$  とにより決定される。この二つの応力函数の適合条件  $\nabla^4 \chi = 0$  を満足する解はそれぞれ次のように与えられる。

$$\left. \begin{aligned} \chi_1 &= C_1 \log r + C_2 r^2 \log r + C_3 r^2 + C_4 \\ \chi_2 &= (C_1' r^2 + C_2' r^4 + C_3' \frac{1}{r^2} + C_4') \cos 2\theta \end{aligned} \right\} \dots (2)$$

未定常数  $C_1, C_2, \dots, C'_1, C'_2, \dots \in$  境界条件より決定するに当り  $\sqrt{b} \neq 0$  とおけば、 $\Rightarrow$  4.5.1.1.2. の式を次のように求める。

$$C_1 = -\frac{q^2}{2} \beta, \quad C_2 = 0, \quad C_3 = \frac{1}{4} \beta, \quad (C_4 \text{ は応力に無関係}), \quad C'_1 = -\frac{1}{4} \beta, \quad C'_2 = 0, \quad C'_3 = -\frac{q^4}{4} \beta, \quad C'_4 = \frac{q^2}{2} \beta$$

したがって所要の応力分布式をえられることになる。

$$\left. \begin{aligned} \sigma_r &= \left( \frac{1}{r} \frac{\partial}{\partial r} + \frac{1}{z} \frac{\partial^2}{\partial z^2} \right) (X_1 + X_2) = \frac{\beta}{2} \left\{ 1 - \frac{q^2}{4} + (1 + 4\frac{q^2}{4} + 3\frac{q^4}{16}) \cos 2\theta \right\} \\ \sigma_\theta &= \frac{\partial^2}{\partial r^2} (X_1 + X_2) = \frac{\beta}{2} \left\{ 1 + \frac{q^2}{4} - (1 + 3\frac{q^4}{16}) \cos 2\theta \right\} \\ \tau_{rz} &= \left( \frac{1}{z} \frac{\partial}{\partial z} - \frac{1}{r} \frac{\partial^2}{\partial r \partial z} \right) (X_1 + X_2) = -\frac{\beta}{2} (1 + 2\frac{q^2}{4} - 3\frac{q^4}{16}) \sin 2\theta \end{aligned} \right\} \dots \dots \dots (3)$$

上記薄板の座屈荷重  $S_{cr}$  は、座屈の際の平衡方程式および板の境界条件を満足する薄板のわみ波形  $w$  が求まれば正しく決定されるが、このようにわみ波形を求めることは非常に困難であるから、本論では有力な近似解法であるエネルギー法を用いて座屈荷重の近似値を求めた。

まず、薄板の曲げによる歪みエネルギーおよび座屈の際に応力の仕事をする歪み  $V, T$  とすれば、それらは  $x, y$  座標 (図-1 参照) の次のように表わされる。

$$V = \frac{D}{2} \iint_{\text{surface}} \left[ \left( \frac{\partial^2 w}{\partial x^2} + \frac{\partial^2 w}{\partial y^2} \right)^2 - 2(1-\nu) \left\{ \frac{\partial^2 w}{\partial x^2} \frac{\partial^2 w}{\partial y^2} - \left( \frac{\partial^2 w}{\partial x \partial y} \right)^2 \right\} \right] dx dy \dots \dots \dots (4)$$

$$T = \frac{1}{2} \iint_{\text{surface}} \left\{ \sigma_x \left( \frac{\partial w}{\partial x} \right)^2 + 2\tau_{xy} \frac{\partial w}{\partial x} \frac{\partial w}{\partial y} + \sigma_y \left( \frac{\partial w}{\partial y} \right)^2 \right\} dx dy \dots \dots \dots (5)$$

$\Rightarrow$   $D =$  薄板の曲げ剛性  $= \frac{Et^3}{12(1-\nu^2)}$   
 $E =$  ヤング率  $\quad \nu =$  板厚  
 $\nu =$  ポアソン比

$\sigma_x, \sigma_y =$   $x$  および  $y$  方向の直応力。  
 $\tau_{xy} =$  せん断応力。

式(4)、(5)を極座標で表すために次の変換公式を用いる。

$$\left. \begin{aligned} \sigma_x &= \sigma_r \cos^2 \theta + \sigma_\theta \sin^2 \theta - \tau_{r\theta} \sin 2\theta \\ \sigma_y &= \sigma_r \sin^2 \theta + \sigma_\theta \cos^2 \theta + \tau_{r\theta} \sin 2\theta \\ \tau_{xy} &= \left( \frac{\sigma_r - \sigma_\theta}{2} \right) \sin 2\theta + \tau_{r\theta} \cos 2\theta \end{aligned} \right\} \dots \dots \dots (6)$$

式(6)を式(4)、(5)に代入して、極座標でのエネルギー式は結局、次のようになる。

$$V = \frac{D}{2} \int_0^{2\pi} \int_0^R \left[ \left( \frac{\partial w}{\partial r} + \frac{1}{r} \frac{\partial w}{\partial r} + \frac{1}{r^2} \frac{\partial^2 w}{\partial \theta^2} \right)^2 - 2(1-\nu) \left\{ \frac{\partial w}{\partial r} \left( \frac{1}{r} \frac{\partial w}{\partial r} + \frac{1}{r^2} \frac{\partial^2 w}{\partial \theta^2} \right) - \left( \frac{1}{r} \frac{\partial w}{\partial \theta} - \frac{1}{r} \frac{\partial w}{\partial \theta} \right)^2 \right\} \right] r dr d\theta \dots \dots \dots (7)$$

$$T = \frac{1}{2} \int_0^{2\pi} \int_0^R \left\{ \sigma_r \left( \frac{\partial w}{\partial r} \right)^2 + 2\tau_{r\theta} \frac{1}{r} \frac{\partial w}{\partial r} \frac{\partial w}{\partial \theta} + \sigma_\theta \left( \frac{1}{r} \frac{\partial w}{\partial \theta} \right)^2 \right\} r dr d\theta \dots \dots \dots (8)$$

座屈荷重  $S_{cr}$  は、式(7)、(8)の境界条件を満足するわみ波形  $w$  を仮定して、これをエネルギーの式(7)、(8)に代入し、さらに式(3)の応力系を式(8)に代入すれば式(7)と式(8)とを等置するごとく直ちに決定される。 $w$  を仮定する場合、座屈荷重が最小となるように仮定することは勿論である。

すなわち、 $w$  またわみ波形  $w$  を各孔縁条件に支たして次のように仮定する。(図-2 参照)

自由:  $w = w_0 \left( \frac{q}{4} + A \frac{q^2}{4} + B \frac{q^3}{16} \right) \cos \theta \dots \dots \dots (9)$

単純支持:  $w = w_0 \left( \frac{q}{4} + A \frac{q^2}{4} + B \frac{q^3}{16} \right) \cos \theta \dots \dots \dots (10)$

$\Rightarrow$   $w_0$  は unit deflection であり、 $A, B$  は各孔縁

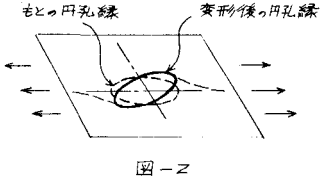


図-2

条件により決定される常数である。式(9)および式(10)が孔の遠方における境界条件、 $(w)_{r=a}=0$ 、 $(\frac{\partial w}{\partial r})_{r=a}=0$  を満足していることは明らかである。

円孔縁  $r=a$  における各境界条件は次のごとく表わされる。

自由:  $(M_r)_{r=a}=0$ 、 $(Q_r - \frac{2M_{\theta\theta}}{r})_{r=a}=0$  ----- (11)

単純支持:  $(w)_{r=a}=0$ 、 $(M_r)_{r=a}=0$  ----- (12)

ここに  $M_r = -D \left\{ \frac{\partial^2 w}{\partial r^2} + \nu \left( \frac{1}{r} \frac{\partial w}{\partial r} + \frac{1}{r^2} \frac{\partial^2 w}{\partial \theta^2} \right) \right\}$

$M_{\theta\theta} = (1-\nu)D \frac{1}{r} \left( \frac{\partial^2 w}{\partial r^2} - \frac{1}{r} \frac{\partial w}{\partial r} \right)$

$Q_r = -D \frac{\partial}{\partial r} \left( \frac{\partial w}{\partial r} + \frac{1}{r} \frac{\partial w}{\partial r} + \frac{1}{r^2} \frac{\partial w}{\partial \theta^2} \right)$

式(11)の第一式および第二式は、それぞれ自由かつ単純支持等価せん断力  $Q_r$  が円孔縁において消失するを意味する。たわみ波形の式(9)、(10)を境界条件式(11)、(12)に代入し、各円孔縁条件に対するたわみ波形の係数  $A$ 、 $B$  を決定すれば表-1のごとくである。ただし  $\nu=1/3$  とする。

また、たわみ波形の式(9)、(10)をエネルギーの式(7)、(8)に代入すれば、 $V$  および  $T$  はそれぞれ次のごとくえられる。

$V = \frac{\pi D}{2a^2} \cdot \Xi$  ----- (13)

$T = \frac{\pi g t}{g} \cdot \Psi$  ----- (14)

ここに  $\Xi$  および  $\Psi$  は無次元数にして  $A$ 、 $B$  の函数として各円孔縁条件に対し次のごとく与えられる。

自由、単純支持:  $\Xi = \frac{8}{3} + 8A + \frac{32}{3}B + \frac{15}{2}A^2 + \frac{160}{9}AB + \frac{56}{3}B^2$

$\Psi = 1 + \frac{32}{21}A + \frac{8}{7}B + \frac{17}{24}A^2 + \frac{107}{105}AB + \frac{17}{30}B^2$

式(13)と式(14)とを等置すれば竹葉の座屈荷重  $S_{cr}$  が次のごとく求められることになる。

$S_{cr} = k \frac{E}{12(1-\nu^2)} \left( \frac{t}{a} \right)^2$  ----- (15)

ここに  $k = 4 \frac{\Xi}{\Psi}$  ----- (16)

各円孔縁条件に対する  $k$  の値を表-2に示す。

同じく  $S_{cr}$  は円孔の半径  $a$  と板厚  $t$  の比を考数として図-3に示した。

3. 考察および結論

本論は、円孔を有する無限薄板が孔の遠方において一軸方向の一様引張りを受けるときの座屈荷重の近似値を、種々の円孔縁条件のもとに求めたものである。兎に、円孔を有する有限薄板を無限薄板として取扱ったため、実際とは多少条件が異なるが、孔径が有限薄板の辺長に比較して小さい場合には、かかる取扱いで差支えなく、上述のごとく、円孔付近に逆材料の局部座屈が起

表-1

円孔縁条件	自由	単純支持
A	-0.8000	-1.5294
B	0.2500	0.5294

表-2

円孔縁条件	自由	単純支持
k	3.698	4.992

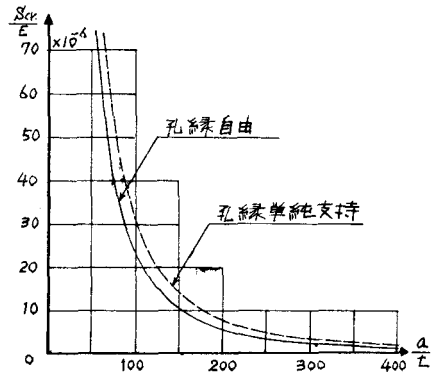


図-3

うることゝ明白となった。

図-3に示すごとく、座屈荷重  $S_{cr}$  と円孔半径の板厚に対する比  $a/t$  との関係は、長柱の座屈に関する Euler-curve に酷似してふり、 $a/t$  が Euler 公式の細長比に相当する。

座屈の際、たわみ波形を逆対称と仮定して113が(式(9)および式(10))、これは常識的に言つて、円孔を有する無限薄板が引張力を受けて座屈するときは、座屈波形は荷重方向と直角な方向に一つの節を有する、いわゆる逆対称波形と考へよう。考へよつても、別に一節対称波形を全く否定するわけではなく、当然その実験検証が必要であり、これらおよび有限薄板としての厳密な計算については後日発表の予定である。